

УДК 531.77

С. А. ГОЛЯКЕВИЧ, Д. В. ГАПАНЮК, В. С. ВИХРЕНКО

Белорусский государственный технологический университет, Минск

## ВЛИЯНИЕ СООТНОШЕНИЯ НАЧАЛЬНЫХ УГЛОВОЙ И ЛИНЕЙНОЙ СКОРОСТЕЙ НА ДВИЖЕНИЕ КОЛЬЦА ПО ГОРИЗОНТАЛЬНОЙ ШЕРОХОВАТОЙ ПОВЕРХНОСТИ

Рассмотрено движение кольца по горизонтальной плоскости под действием сил трения, пропорциональных нормальному давлению. После перехода к безразмерным переменным задача сведена к одному управляющему параметру – отношению начальных значений угловой и линейной скоростей. Установлено, что вращательное и поступательное движения кольца прекращаются одновременно вне зависимости от конкретного значения указанного параметра.

Динамика сыпучих материалов в значительной мере определяется действием сил трения при соприкосновении отдельных частиц. Поэтому задача о взаимном движении тел при учете трения между ними имеет важное прикладное значение. В последние годы было исследовано движение диска по шероховатой плоскости и установлена интересная особенность – его вращательное и поступательное движения взаимосвязаны и прекращаются одновременно [1, 2]. Возникает вопрос, сохранится ли эта особенность и при движении тонкостенного кольца.

Рассмотрим тонкое однородное кольцо радиусом  $R$ , расположенное на горизонтальной шероховатой поверхности (рисунок 1).

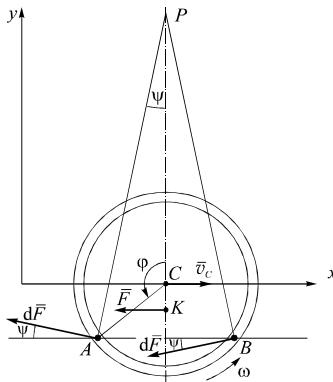


Рисунок 1 – Распределение сил трения, действующих на кольцо

На выделенный элементарный участок кольца размером  $d\varphi$  действует элементарная сила трения

$$dF = \frac{fG}{2\pi} d\varphi,$$

где  $f$  – коэффициент трения кольца о поверхность,  $G$  – вес кольца,  $\varphi$  – угол, определяющий положение элементарного участка и отсчитываемый против хода часовой стрелки от прямой, перпендикулярной начальной скорости  $\bar{v}_{C0}$  центра масс кольца  $C$  (от направления оси  $y$ ). В дальнейшем этот угол будет определять и угловую координату движения кольца.

Направление элементарной силы трения противоположно скорости соответствующей точки кольца или, другими словами, перпендикулярно мгновенному радиусу, соединяющему эту точку и мгновенный центр скоростей (МЦС) – точку  $P$ .

Проекции элементарных сил трения на ось  $y$  для элементов кольца с одинаковыми по величине, но противоположными по знаку углами  $\varphi$  также одинаковы и противоположны по знаку. Поэтому суммарная сила в проекции на ось  $y$  равна нулю, и центр масс должен двигаться прямолинейно вдоль направления его начальной скорости.

В проекции на ось  $Ox$  для элементарной силы трения

$$dF_x = -dF \cos \psi = -\frac{fG}{2\pi} \cos \psi d\varphi, \quad (1)$$

где  $\psi$  – угол между направлением действия элементарной силы трения и осью  $Ox$ , определяемый по формуле (см. рисунок 1)

$$\cos \psi = \frac{b - R \cos \varphi}{\sqrt{R^2 + b^2 - 2Rb \cos \varphi}}, \quad (2)$$

$b = PC = \frac{v_C}{\omega}$  – расстояние от МЦС до центра кольца,  $v_C$  – скорость центра кольца,  $\omega$  – угловая скорость кольца.

Проинтегрируем выражение для  $F_x$  по углу  $\varphi$ , учитывая, что распределение сил трения симметрично относительно диаметра кольца, параллельного оси  $y$ . Поэтому интегрирование выполняем по половине кольца и результат удваиваем:

$$F_x = -\frac{fG}{\pi} \int_0^{\pi} \frac{b - R \cos \varphi}{\sqrt{R^2 + b^2 - 2Rb \cos \varphi}} d\varphi = -\frac{fG}{\pi\sqrt{1 + \beta^2}} \int_0^{\pi} \frac{\beta - \cos \varphi}{\sqrt{1 - \gamma \cos \varphi}} d\varphi, \quad (3)$$

где  $\beta = b/R$ ,  $\gamma = 2\beta/(1 + \beta^2)$ .

Элементарный момент сил трения относительно МЦС запишется в следующем виде:

$$\begin{aligned} dM_p &= (fG/2\pi)\sqrt{R^2 + b^2 - 2Rb \cos \varphi} d\varphi = \\ &= (fGR/2\pi)\sqrt{1 + \beta^2 - 2\beta \cos \varphi} d\varphi = (fGR/2\pi)\sqrt{1 + \beta^2} \sqrt{1 - \gamma \cos \varphi} d\varphi. \end{aligned} \quad (4)$$

Проинтегрировав записанное выше выражение по углу  $\varphi$ , получим:

$$M_p = f \frac{mgR}{\pi} \sqrt{1 + \beta^2} \int_0^\pi \sqrt{1 - \gamma \cos \varphi} d\varphi. \quad (5)$$

Интеграл, который входит в состав этого выражения

$$I_1(\gamma) = \frac{1}{\pi} \int_0^\pi \sqrt{1 - \gamma \cos \varphi} d\varphi, \quad (6)$$

где  $0 \leq \gamma \leq 1$ , вычислить аналитически не представляется возможным. Он может быть представлен через эллиптические интегралы [3], которые не входят в стандартное математическое обеспечение многих широко используемых программных пакетов. Поэтому воспользуемся разложением подынтегрального выражения (6) в ряд по  $\cos \varphi$  и последующим интегрированием, сохраняя первые 6 членов:

$$I_1(\gamma) = 1 - \frac{1}{2}\gamma - \frac{1}{8}\gamma^2 - \frac{1}{16}\gamma^3 - \frac{5}{128}\gamma^4 - \frac{7}{256}\gamma^5. \quad (7)$$

Таким образом, выражение (5) для момента сил трения запишем в виде

$$M_p = fmgR\sqrt{1 + \beta^2} I_1(\gamma). \quad (8)$$

Для вычисления силы трения согласно соотношениям (1) и (2) введем соответствующие интегралы:

$$I_2 = \frac{1}{\pi} \int_0^\pi \frac{1}{\sqrt{1 - \gamma \cos \varphi}} d\varphi; \quad I_3 = \frac{1}{\pi} \int_0^\pi \frac{\cos \varphi}{\sqrt{1 - \gamma \cos \varphi}} d\varphi, \quad (9)$$

и вновь прибегнем к разложениям подынтегральных выражений в ряд по  $\cos \varphi$  и последующему интегрированию:

$$I_2(\gamma) = 1 + \frac{3}{16}\gamma^2 + \frac{105}{1024}\gamma^4 - \frac{1155}{16384}\gamma^6; \quad I_3(\gamma) = \frac{1}{4}\gamma + \frac{15}{128}\gamma^3 - \frac{315}{4096}\gamma^5. \quad (10)$$

Подставив соотношения (9) в выражение (3), получим

$$F_x = -fmg(\beta I_2(\gamma) - I_3(\gamma)) / \sqrt{1 + \beta^2}. \quad (11)$$

Так как линия действия равнодействующей элементарных сил трения может не проходить через центр масс, то момент сил трения относительно центра масс можно записать в виде

$$M_C = M_P - F_x CP,$$

где  $CP = b$  – расстояние между центром масс кольца и мгновенным центром скоростей, относительно которого перемещается кольцо в заданный момент времени.

После преобразований получим

$$M_C = -\sqrt{1+\beta^2} \left[ \beta I_1(\gamma) - \frac{\gamma}{2} (\beta I_2(\gamma) - I_3(\gamma)) \right]. \quad (12)$$

Запишем систему дифференциальных уравнений движения кольца:

$$\begin{cases} mR^2 \frac{d\omega}{dt} = M_C, \\ m \frac{dv_C}{dt} = F_x. \end{cases} \quad (13)$$

Чтобы исключить из конечных выражений коэффициент трения  $f$  и ускорение свободного падения  $g$ , введем безразмерные скорость  $U = v_C / v_{C0}$ , угловую скорость  $\Omega = \omega R / v_{C0}$  и время  $\tau = (fg / v_{C0})t$ .

Используя выражения (11) и (12) для силы и момента сил относительно центра масс, запишем систему дифференциальных уравнений движения кольца по шероховатой поверхности:

$$\begin{cases} d\Omega = -\sqrt{1+\beta^2} \left[ \beta I_1(\gamma) - \frac{\gamma}{2} (\beta I_2(\gamma) - I_3(\gamma)) \right] d\tau, \\ dU = -\left\{ [\beta I_2(\gamma) - I_3(\gamma)] / \sqrt{1+\beta^2} \right\} d\tau. \end{cases} \quad (14)$$

Таким образом, задача сведена к исследованию поведения кольца при фиксированной начальной безразмерной скорости центра масс  $U_0 = 1$  и произвольной безразмерной угловой скорости, являющейся в данном случае единственным управляющим параметром задачи.

Формулировке задачи можно придать более общий вид, если предположить, что на кольце расположено дополнительное тело (центр его масс совпадает с центром кольца), что приводит к изменению центрального момента инерции. Пусть суммарный центральный радиус инерции кольца и тела равен  $\rho$ . Это приведет лишь к переопределению безразмерной угловой скорости  $\Omega = (\omega R / v_C)(\rho^2 / R^2)$ .

Полученные результаты могут быть легко трансформированы в размерные физические величины по соотношениям, использованным в процессе обезразмеривания. В частности, переход от безразмерного времени движения  $\tau_s$  до остановки кольца к реальному времени осуществляется по соотношению  $t_s = (v_{C0} / fg)\tau_s$ . Время движения до остановки оказывается пропорциональным начальной скорости движения центра кольца и обратно пропорциональным коэффициенту трения и ускорению свободного падения. Коэффициент пропорциональности зависит от безразмерной начальной угловой скорости  $\tau_s = \tau_s(\Omega_0)$ . Отметим, что при отсутствии вращательного движения кольца  $\tau_s = 1$ . Поэтому получаемые значения  $\tau_s$  можно интерпретировать как время остановки в долях от значения при  $\Omega_0 = 0$ .

Решение полученной системы дифференциальных уравнений проводилось в среде MathCAD. С помощью оператора цикла *for* полученная выше система дифференциальных уравнений (14) была численно проинтегрирована по схеме Эйлера с шагом 0,001. Поскольку система диссипативна, алгоритм Эйлера оказался устойчивым и при выбранном шаге обеспечил высокую точность интегрирования.

Результаты интегрирования для двух значений  $\Omega_0$ , одно из которых больше, а второе меньше единицы, представлены на рисунках 2 и 3 (на вставках заключительный этап движения представлен в увеличенном масштабе). Аналогичный вид эти зависимости имеют и при других начальных условиях. Отметим, что при  $\Omega_0 = 1$  обе линии совпадают и образуют прямую, пересекающую горизонтальную ось при  $\tau_s = 1,544$ . Это означает, что движение кольца является равнозамедленным как по поступательной, так и по вращательной степеням свободы, но модуль линейного ускорения меньше, чем при чисто поступательном движении, поскольку в последнем случае  $\tau_s = 1$ . Вращательное движение приводит к уменьшенному, в данном случае более чем в полтора раза, эффективному коэффициенту трения.

Та скорость, начальное безразмерное значение которой больше, убывает с течением времени практически равномерно, тогда как вторая скорость поначалу изменяется медленно и лишь в конце движения темп ее изменения увеличивается. Это означает, что более энергетически насыщенная степень свободы поддерживает движение менее насыщенной, пока их энергии не станут сопоставимыми.

Во всех случаях предел отношения  $\Omega/U$  в момент остановки равнялся единице, другими словами, вращательное и поступательное движения кольца прекращались одновременно, как и диска в работах [1, 2]. Для однородного

диска указанное выше отношение было равным 1,53 [1]. Для диска с дополнительным телом будет справедливым предельное отношение

$$\lim_{\tau \rightarrow \tau_s} \frac{\omega R}{v_C} = \frac{\rho^2}{R^2}. \quad (15)$$

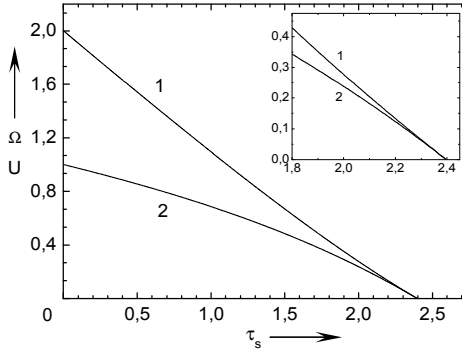


Рисунок 2 – Зависимость безразмерных угловой (кривая 1) и линейной (2) скоростей от безразмерного времени при  $\Omega_0 = 2$

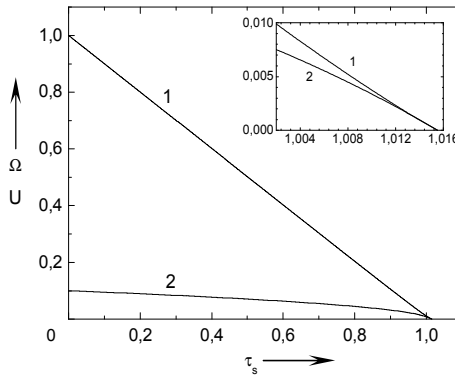


Рисунок 3 – Зависимость безразмерных линейной (кривая 1) и угловой (2) скоростей от безразмерного времени при  $\Omega_0 = 0,1$

На зависимости времени движения кольца до остановки от начальной угловой скорости (рисунок 4) можно выделить три участка: малых угловых скоростей ( $\Omega_0 \ll 1$ ), сопоставимых с безразмерной линейной ( $\Omega_0 \approx 1$ ) и

больших угловых скоростей ( $\Omega_0 \gg 1$ ). На первом участке время остановки очень медленно растет с увеличением угловой скорости. Этот факт объясняется тем, что в выражении для кинетической энергии угловая скорость входит квадратично и при малых ее значениях вклад в кинетическую энергию оказывается очень малым.

На третьем участке время остановки кольца практически линейно растет с увеличением  $\Omega_0$ . Для более подробного исследования этого участка следует выполнить обезразмеривание по параметру  $\tau = (fg/R\omega)t$  и исследовать время остановки в единицах времени прекращения чисто вращательного движения.

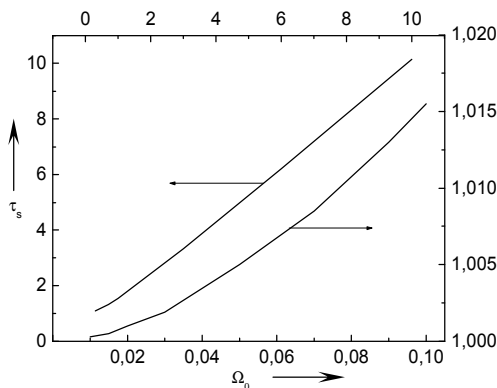


Рисунок 4 – Зависимость безразмерного времени движения кольца до остановки от начальной угловой скорости: нижняя кривая – при малых угловых скоростях, верхняя – при малых и средних значениях угловой скорости

В таблице 1 приведены численные значения времени движения кольца до остановки при ряде значений начальной безразмерной угловой скорости, а также осуществлен переход к размерным величинам при  $f = 0,2$ ,  $v_{C0} = 4$  м/с и  $R = 0,1$  м, что позволяет оценить временной масштаб задачи. Отметим, что увеличение угловой скорости в 10 000 раз привело к увеличению времени движения в 100 раз. Это обусловлено тем, что увеличение безразмерной угловой скорости от 0,01 до 1,0 привело всего к полуторакратному увеличению времени движения до остановки.

Для проверки правильности выполненных расчетов использована теорема об изменении кинетической энергии

$$K - K_0 = A, \quad (16)$$

где  $K = (U^2 + \Omega^2)/2$  – кинетическая энергия тела в безразмерной форме,  $K_0$  – ее начальное значение.

Таблица 1

$\Omega_0$	0,01	0,05	0,1	0,7	1	6	10	100
$\tau_s$	1,0003	1,005	1,016	1,325	1,544	6,22	10,15	100,03
$\omega_0$ , рад/с	0,4	2	4	28	40	240	400	4000
$t_s$ , с	2,04	2,05	2,07	2,7	3,15	12,7	20,7	204

Мощность сил трения определяется произведением момента сил трения относительно МЦС на угловую скорость. В безразмерной форме можно записать

$$N = \sqrt{1 + \beta^2} I_1 \Omega. \quad (17)$$

Работа определяется интегрированием мощности по безразмерному времени. На основании (16) можно записать  $\xi = (K - A)/K_0 = 1$ . При всех исследованных начальных условиях в диапазоне  $0,01 < \Omega_0 < 100$  это соотношение выполнялось с большой точностью, что свидетельствует о достаточной точности представления интегралов рядами (7), (10) и адекватном функционировании разностной схемы интегрирования системы дифференциальных уравнений (14).

Таким образом, по сформулированным в работе дифференциальным уравнениям движения выполнено исследование взаимовлияния вращательного и поступательного движений кольца под действием сил трения и установлено, что оба вида движения прекращаются одновременно. Полученные результаты показывают, что движение кольца в качественном отношении такое же, как и движение диска [1, 2]. Предел отношения безразмерных угловой и линейной скоростей, как и в работе [2], зависит от радиуса инерции тела. В рассматриваемом случае это отношение равно квадрату отношения центрального радиуса инерции тела к радиусу кольца.

### СПИСОК ЛИТЕРАТУРЫ

- 1 **Farkas, Z.** Frictional coupling between sliding and spinning disks / Z. Farkas, G. Bartels, D. E. Wolf, T. Unger // Phys. Rev. Lett. – 2003. – V. 90, № 24. – P. 248–302.
- 2 **Weidman, P.** Regimes of terminal motion of sliding spinning disks / P. Weidman, C. Malhotra // Phys. Rev. Lett. – 2005. – V. 95, № 26. – P. 264–303.
- 3 **Градштейн, И. С.** Таблицы интегралов, сумм, рядов и произведений / И. С. Градштейн, И. М. Рыжик. – М.: ГИФМЛ, 1963.– 1100 с.

Получено 22.05.2006